

بررسی آزمایشگاهی ضریب دبی سازه ترکیبی کالورت دایره‌ای-سرریز لبه‌پهن*

منوچهر اسمعیلوندی^(۱) مهدی اسدی آقبلاغی^(۲)

چکیده در این مقاله به بررسی ویژگی‌های هیدرولیکی جریان عبوری از درون یک سیستم مرکب کالورت دایره‌ای-سرریز به صورت آزمایشگاهی برای ۱۲ مدل پرداخته شد. منحنی دبی اشل برای مدل‌های مختلف ارائه شد. نتایج نشان داد که به ازای یک هد مشخص دبی سازه ترکیبی بیشتر از مجموع دبی کالورت و دبی سرریز بود. همچنین، ضریب دبی برای سازه ترکیبی بین ۰/۲۵ تا ۰/۷۳، برای سرریز بین ۰/۲۵ تا ۰/۶۳ و برای کالورت ۰/۳۳ تا ۰/۷۷ تغییر می‌کرد. پارامتر بدون بعد H/D (هد به قطر) بیشترین تأثیر را بر روی ضریب دبی داشته است. علاوه بر این، معادلات رگرسیونی برای تخمین ضریب دبی ارائه شدند.

واژه‌های کلیدی آنالیز ابعادی، اندازه‌گیری دبی جریان، رگرسیون خطی، معادله دبی، منحنی دبی-اشل.

Experimental Study of Discharge Coefficient of Broad Crest Weir-Circular Culvert Combined Structure

M. Esmayilvandi

M. Asadi-Aghbolaghi

Abstract In this research, the hydraulic characteristics of flow through circular culverts and over broad crested weir are experimentally investigated for 12 models. Stage discharge rating curve was presented for each model. The results show that for a specific head, the discharge of combined structure is greater than the summation of discharge of weir and culvert. Also, the discharge coefficient for the combined structure is varying from 0.25 to 0.73 and for the weir is varying from 0.25 to 0.63 and for the culvert is varying from 0.33 to 0.77. The dimensionless parameter H/D (head to diameter) has the greater influence on discharge coefficient. In addition, regression equations are presented for estimation of discharge coefficient.

Key Words Dimensional Analysis, Discharge Equation, Flow discharge measurement, Linear regression, Stage discharge rating curve.

* تاریخ دریافت مقاله ۹۶/۵/۱۷ و تاریخ پذیرش آن ۹۶/۱۱/۴ می‌باشد.

(۱) کارشناس ارشد سازه‌های آبی، گروه مهندسی آب، دانشکده کشاورزی، دانشگاه شهرکرد.

(۲) نویسنده مسئول، عضو هیأت علمی گروه مهندسی آب، دانشکده کشاورزی، دانشگاه شهرکرد. Email: mahdi.asadi.a@gmail.com

مقدمه

از آنجایی که برای عبور آب از زیر جاده‌های درجه دو و سه، از زیرگذر (کالورت) استفاده می‌شود، در هنگام بارندگی‌های شدید در سیل‌های با دوره بازگشت بالا کالورت قادر به انتقال همه آب جمع شده در زیر جاده نخواهد بود و از آنجایی که به کارگرفتن یک کالورت بزرگ‌تر یا چند کالورت، برای این چنین مواردی از نظر اقتصادی مقرون به صرفه نیست، لذا جاده طوری ساخته می‌شود، که خود جاده به صورت یک سرریز عمل می‌کند، آب جمع شده در پشت جاده، می‌تواند پس از عبور از روی جاده به مسیر خود ادامه دهد؛ و پس از فروکش کردن سیل جاده مجدداً قابل استفاده خواهد بود.

از گذشته تا به امروز کالورت‌ها با هدف انتقال آب از زیر جاده‌ها مورد استفاده مهندسیین قرار گرفته است و هیدرولیک و ساختار آن همواره مورد بررسی محققین قرار گرفته است. اگرچه کالورت‌ها ظاهراً ساختمان هیدرولیکی ساده‌ای دارند، اما طراحی آن‌ها به دلیل حالت‌های بسیار متنوعی که جریان آب در آن‌ها پیدا می‌کند کار آسانی نیست و به سادگی نمی‌توان آن‌ها را به دو دسته جریان‌های سطحی و تحت فشار تقسیم‌بندی کرد [1].

چاو ویژگی هیدرولیکی کالورت‌ها را بر اساس پر بودن یا نبودن کالورت‌ها تقسیم‌بندی می‌کنند [2]. در واقع، الگوهای جریان مختلف بسیاری در کالورت وجود دارد که در طراحی آن‌ها باید عواملی چون شیب، طول، مواد سازنده کالورت، هد آب بالادست، افت ورودی و غیره در نظر گرفته شوند. بیرامی شرایط جریان در کالورت‌ها را به دو دسته تقسیم کرد: اگر شرایط سطح آب در پایین دست، شیب کف مجرا و عمق آب در بالادست به نحوی است که جریان در مجرا به صورت تحت فشار نباشد، عمق بحرانی در مقطع ورودی تشکیل می‌گردد [3]. این وضعیت را کنترل ورودی می‌نامند. اگر تمام شرایط به نحوی است که

کالورت به صورت پر عمل می‌نماید این وضعیت را کنترل خروجی می‌گویند. هندرسون برای محاسبه دبی عبوری (Q) از یک کالورت دایره‌ای در شرایطی که جریان به صورت $0.8 < \frac{H_1 - z_{inlet}}{D} < 0$ و $0.025 < \sin \theta < 0.361$ باشد دبی آن از معادله:

$$\frac{Q}{D} = 0.432 \sqrt{g} \frac{(H_1 - z_{inlet})^{1.9}}{D^{0.4}} \quad (1)$$

و در حالتی که $0 < \frac{H_1 - z_{inlet}}{D} < 1.2$ و $0.025 < \sin \theta < 0.361$ باشد دبی از معادله:

$$\frac{Q}{D} = 0.438 \sqrt{g} (H_1 - z_{inlet})^{1.5} \quad (2)$$

محاسبه می‌شوند که در آن D، قطر کالورت و H_1 ، هد آب بالادست جریان، z_{inlet} ، ارتفاع کف ورودی کالورت، g شتاب ثقل و θ ، زاویه شیب کف کالورت است [4].

سرریزها را بر حسب شکل تاج و این که آیا تمام یا قسمتی از عرض کانال را گرفته‌اند، تقسیم‌بندی می‌نمایند. در معمول‌ترین تقسیم‌بندی‌ها، سرریزها به دو گروه سرریزهای لبه‌تیز و سرریزهای لبه‌پهن تقسیم می‌شوند. ژئوس و همکاران آزمایش‌هایی برای مطالعه اثر عرض پایین و ارتفاع پایینی یک سرریز مستطیلی مرکب لبه‌پهن بر روی ضریب دبی انجام دادند [5]. برای این منظور، آن‌ها ۹ مدل سرریز لبه‌پهن مستطیلی مرکب را با دبی‌های مختلف آزمایش کردند. آن‌ها اثر پارامترهای مدل را بر روی ضریب دبی بررسی کردند و همچنین نتایج تحقیق آنان با تحقیقات پیشین که بر روی سرریز مستطیلی ساده انجام شده بود، مقایسه کردند و به این نتیجه رسیدند که عرض و ارتفاع پایین سرریز تأثیر بسزایی بر روی ضریب دبی دارد و با افزایش آن‌ها، دبی زیادتر می‌شود. عظیمی و همکاران با انجام آزمایش‌هایی مقدار ضریب دبی را برای یک سرریز در یک کانال باز با طول تاج محدود و تاج شیب‌دار و با رمپ بالادست یا پایین دست به دست آوردند. آنها با استفاده از معادله سرریز لبه‌پهن و دنبال کردن مطالعاتی که اخیراً بر روی سرریز لبه‌پهن انجام شده است، با

سوری و همکاران [۱۲ و ۱۳] به بررسی آزمایشگاهی موقعیت قرارگیری سازه استوانه‌ای در راستای عمود بر جریان بر روی ضریب دبی عبوری از سازه پرداختند. نتایج ایشان نشان داد که بیشترین و کمترین ضریب دبی در سازه‌های سرریز استوانه‌ای و دریچه استوانه‌ای مشاهده شده است. همچنین با تبدیل سازه از سرریز-دریچه استوانه‌ای به دریچه استوانه‌ای کاهش سریعی در مقادیر پارامترهای بدون بعد نسبت عمق بالادست به قطر سازه و نسبت تفاضل عمق آب بالادست و پایین دست به قطر سازه حاصل می‌شود که علت آن کاهش میزان پس‌زدگی آب است.

حیدرپور و همکاران [۱۴] خصوصیات هیدرولیکی سرریز-دریچه نظیر ضریب دبی جریان و پارامترهای مؤثر بر جریان ترکیبی را به صورت آزمایشگاهی بررسی کردند. آنها معادله‌ای برای ضریب دبی ارائه کردند که تطابق خوبی بین داده‌های آزمایشگاهی و معادلات ارائه شده دیده شد. نورالهی و همکاران [۱۵] در یک مطالعه آزمایشگاهی به بررسی عملکرد هیدرولیکی دریچه تلفیقی از دریچه کشویی و دریچه طبلی پرداختند. نتایج مطالعه ایشان نشان داد که در دریچه کشویی استوانه‌ای ضریب فشردگی تا نزدیک به یک افزایش می‌یابد. همچنین آن‌ها روابطی برای تشخیص شرایط جریان آزاد و مستغرق در دریچه‌های کشویی استوانه‌ای و نیم‌استوانه‌ای ارائه کردند.

با توجه به بررسی منابع به عمل آمده به نظر می‌رسد که تحقیقات اندکی در زمینه سازه‌های ترکیبی صورت گرفته است، لذا ضروری است که تحقیقات گسترده‌ای برای این سازه‌ها انجام گیرد. تنها تحقیقی که در این زمینه انجام شده است می‌توان به تحقیق گاوان و همکاران [16] اشاره کرد که با مطالعه بر روی یک سازه ترکیبی شامل یک سرریز با کالورت مربعی در یک فلوم ۱۲ متری شیشه‌ای به این موضوع پی بردند که ضریب دبی (برای سیستم مرکب کالورت-سرریز) با نسبت ارتفاع آب در پشت سازه ترکیبی به قطر کالورت رابطه

استفاده از نتایج آزمایشگاهی یک همبستگی قوی برای ضریب دبی ارائه دادند [6]. مهری و همکاران [7] با استفاده از سامانه استنتاج فازی و مدل فازی-عصبی و با انجام مطالعات آزمایشگاهی و تحلیلی ضریب دبی سرریزهای لبه‌تیز و لبه‌پهن مستطیلی را بررسی کردند. آنها عنوان کردند که دو مدل ذکرشده، با دقت خوبی ضریب دبی را برآورد می‌کند.

آکسوی و دوقان [8] به صورت آزمایشگاهی زاویه رسیدن جریان بر روی دبی یک سرریز لبه‌پهن بررسی کردند. نتایج آنها نشان داد که ضریب دبی علاوه بر طول سرریز تابعی از زاویه رسیدن جریان است و یک رابطه بدون بعد برای ضریب دبی ارائه کردند. سویدان و همکاران [9] به صورت آزمایشگاهی و عددی اثر تلاطم جریان اطراف یک سرریز استوانه‌ای که در یک فاصله از بستر قرار گرفته است بررسی کردند. آنها معادلات حاکمه دو بعدی جریان متلاطم را با ANSYS Fluent حل کردند. آنها نتایج عددی را با نتایج آزمایشگاهی مقایسه کردند که نتایج دو روش تطابق خوبی با هم نشان داد. ادیس و همکاران [10] ضریب دبی سرریز کنگره‌ای دوزنقه‌ای را بر روی پانزده مدل فیزیکی بررسی کردند. نتایج مطالعه آنها نشان داد که ضریب دبی ابتدا با افزایش هد افزایش پیدا می‌کند و پس‌ازاینکه هد به یک مقدار معین رسید با افزایش هد ضریب دبی کاهش پیدا می‌کند. گروهی از محققین در تحقیقات خود به مطالعه جریان در سازه‌های ترکیبی (جریان روگذر و جریان درون‌گذر) پرداخته‌اند و برای این سازه ترکیبی ضریب دبی ارائه نموده‌اند. مسعودیان و همکاران [۱۱] به بررسی آزمایشگاهی ضریب دبی سرریز-دریچه استوانه‌ای پرداختند. نتایج آزمایش ایشان نشان داد که ضریب دبی سازه ترکیبی در محدوده آزمایش‌ها بین ۰/۷۵ و ۱/۰۵ متغیر است و نشان دادند که قطر سازه و بازشدگی دریچه بر ضریب دبی اثر می‌گذارد؛ و آن‌ها یک رابطه برای ضریب دبی با ضریب همبستگی بالا ارائه کردند.

در این مقاله، ضریب دبی یک سیستم کالورت دایره‌ای-سرریز به صورت آزمایشگاه تحقیق شد، تأثیر پارامترهایی مانند زاویه شیب کناری سرریز (θ)، قطر کالورت (D)، ارتفاع سرریز (P)، عرض کف سرریز (b)، بر روی ضریب دبی سازه ترکیبی بررسی می‌شود؛ و مقدار ضریب دبی برای هر یک از سازه‌های کالورت، سرریز و سازه ترکیبی سرریز کالورت محاسبه می‌شود.

مواد و روش‌ها

آزمایش‌ها در یک فلوم مستطیلی آزمایشگاهی با طول ۱۲ متر، عرض و ارتفاع ۴۰ سانتی‌متر واقع در آزمایشگاه هیدرولیک دانشگاه شهرکرد انجام گرفت. فلوم دارای یک سرریز مثلثی در انتهای مخزن ابتدایی خود است که با استفاده از این سرریز دبی ورودی به کانال به کمک رابطه زیر قابل محاسبه است:

$$Q = \frac{8}{15} C(\sqrt{2g}) (H^{2.5} \cdot \tan \frac{\alpha}{2}) \quad (11)$$

که در آن α زاویه رأس سرریز که این زاویه ۹۰ درجه است و H ارتفاع آب روی سرریز و g ثقل و درنهایت C ضریب دبی ورودی به کانال است که رابطه دبی اشل پس از کالیبره سازی و ساده سازی به صورت معادله (۱۲) ارائه می‌شود:

$$Q = 1.45H^{2.5} \quad (12)$$

برای اندازه‌گیری عمق جریان نیز از یک کولیس با محدوده دقت ± 0.1 میلی‌متر استفاده شد.

برای ساخت قسمت سرریز در مدل‌های ترکیبی سرریز- کالورت، ورق‌هایی از جنس گالوانیزه با ضخامت ۰/۷۵ میلی‌متر و برای قسمت کالورت در سازه‌های ترکیبی سرریز- کالورت از لوله‌هایی از جنس پی‌وی‌سی استفاده شده است. آزمایش‌ها در سه حالت مختلف انجام شد، در حالت اول جریان فقط از داخل کالورت عبور می‌کرد و مجرای سرریز بسته شد، در حالت دوم جریان فقط از روی سرریز عبور می‌کرد و

مستقیم دارد (y/D)، یعنی با افزایش آب پشت بند و یا کاهش قطر کالورت ضریب دبی زیاد می‌شود. آنها همچنین ضریب دبی را برای کالورت به صورت معادله (۳) و (۴) (به ترتیب رگرسیون خطی و نمایی) ارائه کردند:

$$C_d = 0.44 - 0.384 \frac{Y}{L} + 0.098 \frac{Y}{D} \quad (3)$$

$$C_d = 0.275 \frac{(\frac{Y}{D})^{0.51}}{(\frac{Y}{L})^{0.239}} \quad (4)$$

و برای سرریز معادلات (۵) (رگرسیون خطی) و (۶) و (۷) (رگرسیون نمایی) را ارائه کردند [16]:

$$C_d = 0.412 + 0.038 \frac{H}{P} - 0.047 \frac{H}{b} + 0.273 \frac{H}{L} - 0.001 \tan(\theta) \quad (5)$$

برای $\theta = 0$:

$$C_d = 0.553 \frac{(\frac{H}{P})^{0.05} (\frac{H}{b})^{2.621}}{(\frac{H}{L})^{2.56}} \quad (6)$$

و برای $\theta > 0$:

$$C_d = 0.365(\tan \theta)^{0.182} \frac{(\frac{H}{P})^{0.07} (\frac{H}{b})^{0.136}}{(\frac{H}{L})^{0.065}} \quad (7)$$

و برای سازه ترکیبی معادلات (۸) (رگرسیون خطی) و (۹) و (۱۰) (رگرسیون نمایی) را ارائه کردند [16]:

$$C_d = 0.479 - 1.447 \frac{H}{P} - 0.076 \frac{H}{b} + 1.021 \frac{H}{L} + 1.044 \frac{H}{D} - 0.012 \tan \theta \quad (8)$$

برای $\theta = 0$:

$$C_d = 0.832 \frac{(\frac{H}{P})^{1.265} (\frac{H}{L})^{0.771}}{(\frac{H}{b})^{0.689} (\frac{H}{D})^{1.277}} \quad (9)$$

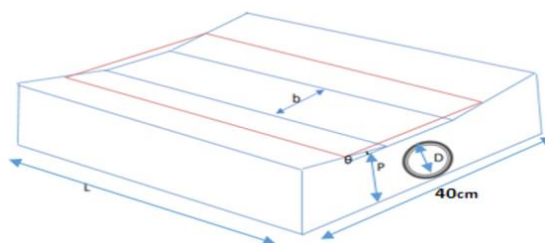
و برای $\theta > 0$:

$$C_d = 0.394(\tan \theta)^{0.06} \frac{(\frac{H}{b})^{0.018} (\frac{H}{L})^{0.092} (\frac{H}{D})^{1.272}}{(\frac{H}{P})^{1.292}} \quad (10)$$

گروه و هر گروه شامل سه مدل می‌باشند (جدول ۱). در تمامی آزمایش‌ها عمق آب $11/8$ و $30/2$ سانتی‌متر، دبی جریان بین $3/16$ و $42/21$ لیتر بر ثانیه، D بین ۵ تا ۱۰ سانتیمتر، θ بین ۰ تا ۱۵ درجه، ارتفاع سرریز بین ۷ تا ۱۲ سانتیمتر، عرض کف بین ۱۵ تا ۴۰ سانتیمتر و با طول ثابت ۶۰ سانتی‌متر بوده است.

مجرای کالورت بسته شد و در حالت سوم، جریان از سازه ترکیبی کالورت-سرریز عبور می‌کرد.

شکل (۱) مدل سازه ترکیبی کالورت-سرریز (combined culvert-weir) را نشان می‌دهد. این مدل‌ها در قطر (D)، عرض کف (b)، ارتفاع سرریز (P)، زاویه جانبی سرریز (θ)، مختلفی ساخته شدند و هر یک از مدل‌های ترکیبی با Sc نام‌گذاری شده است که به چهار



شکل ۱ مدل‌ها و شماتیکی از مدل ترکیبی کالورت-سرریز

جدول ۱ مدل ترکیبی سرریز-کالورت دایره‌ای در ابعاد هندسی مختلف

گروه	مدل	طول سازه (L) (سانتی‌متر)	عرض کف سرریز (b) (سانتی‌متر)	ارتفاع سرریز (P) (سانتی‌متر)	قطر لوله (D) (سانتی‌متر)	زاویه شیب سرریز (θ) (درجه)
	Sc1 (P/D=1.4)	۶۰	۴۰	۷	۵	۰
گروه اول	Sc2 (P/D=1.33)	۶۰	۴۰	۱۰	۷/۵	۰
	Sc3 (P/D=1.2)	۶۰	۴۰	۱۲	۱۰	۰
	Sc4 (P/D=1.4)	۶۰	۱۵	۷	۵	۵
گروه دوم	Sc5 (P/D=1.33)	۶۰	۱۵	۱۰	۷/۵	۵
	Sc6 (P/D=1.2)	۶۰	۱۵	۱۲	۱۰	۵
	Sc7 (P/D=1.4)	۶۰	۱۵	۷	۵	۱۰
گروه سوم	Sc8 (P/D=1.33)	۶۰	۱۵	۱۰	۷/۵	۱۰
	Sc9 (P/D=1.2)	۶۰	۱۵	۱۲	۱۰	۱۰
	Sc10 (P/D=1.4)	۶۰	۱۵	۷	۵	۱۵
گروه چهارم	Sc11 (P/D=1.33)	۶۰	۱۵	۱۰	۷/۵	۱۵
	Sc12 (P/D=1.2)	۶۰	۱۵	۱۲	۱۰	۱۵

جریان در سازه ترکیبی کالورت - سرریز

شکل (۲) جریان عبوری از سازه ترکیبی کالورت-سرریز را نشان می‌دهد. در آزمایش‌های انجام شده برای سرریز اگر جریان عبوری از کالورت مستغرق باشد ($P/D < 1.4$) حتماً جریان در سازه ترکیبی مستغرق است (خواه جریان از روی سرریز در سازه ترکیبی مستغرق باشد یا نباشد). اگر جریان عبوری از روی سرریز و درون کالورت آزاد باشد ممکن است جریان در سازه ترکیبی آزاد یا مستغرق باشد.

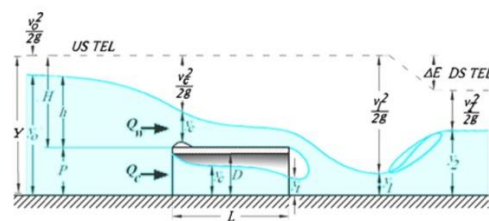
میزان دبی عبوری از روی سازه ترکیبی کالورت-سرریز برابر است با مجموع دبی عبوری از روی کالورت و سرریز به صورت جداگانه یعنی:

$$Q_t = Q_c + Q_w \quad (13)$$

که در آن Q_t دبی عبوری از سازه ترکیبی، Q_c دبی عبوری از کالورت، Q_w دبی عبوری از سرریز است. از آنجا دبی عبوری از یک کالورت دایره‌ای از معادله (۴) محاسبه می‌شود [17]:

$$Q_c = C_{dc} \frac{\pi D^2}{4} \times \sqrt{2g \times (Y - y_1)} \quad (14)$$

که در آن D قطر کالورت، Y بار مؤثر آب نسبت به کف کالورت و y_1 عمق اولیه پرش در پایین دست سازه و ضریب دبی است. سهم سرریز در مقدار دبی عبوری از معادله (۵) محاسبه می‌شود:



شکل ۲ جریان عبوری از سازه ترکیبی کالورت-سرریز [16]

لزجت صرف نظر کرد [18]، با توجه به اینکه حداقل عدد و بر در این تحقیق ۲۵ است، لذا از اثر کشش سطحی صرف نظر شد؛ و Fr عدد فرود بالادست سازه است. لذا از تأثیر آن چشم پوشی می گردد. در نتیجه ارتباط بین پارامترهای مؤثر و میزان ضریب دبی عبوری از سازه ترکیبی کالورت-سرریز به دست می آید:

$$C_d = \left(\frac{H}{P}, \frac{H}{L}, \frac{H}{D}, \frac{H}{b}, \tan \theta, Fr \right) \quad (19)$$

برای کاهش پارامترهای بدون بعد پارمترها بر یکدیگر تقسیم شدند، لذا:

$$C_d = \left(\frac{P}{D}, \frac{H}{b}, \frac{H}{L}, \tan \theta, Fr \right) \quad (20)$$

همچنین ضریب دبی عبوری از سرریز (بدون حضور کالورت) از معادله (۲۱) به دست می آید:

$$C_d = \left(\frac{H}{P}, \frac{H}{b}, \tan \theta, Fr \right) \quad (21)$$

همچنین برای یک کالورت (بدون حضور سرریز) وابستگی ضریب دبی در معادله (۲۲) قابل مشاهده است:

$$C_d = \left(\frac{Y}{D}, \frac{Y}{L}, Fr \right) \quad (22)$$

بحث و نتایج

برای هر مدل، به طور متوسط ۱۰ آزمایش در ده دبی مختلف، انجام شد. شایان یادآوری است میزان دبی های ورودی به کانال بین ۳ تا ۴۵ لیتر بر ثانیه متغیر بوده است. بدین منظور در این آزمایش بر اساس زاویه کناری سرریز، با قراردادن سازه ترکیبی کالورت-سرریز در چهار گروه، رابطه هد-دبی برای سازه کالورت-سرریز، کالورت و سرریز ترسیم شده است (شکل های ۳ و ۴). در تمامی مدل ها با افزایش هد آب بالادست، میزان دبی عبوری از سازه ترکیبی زیاد می شود. در بعضی از مدل ها، منحنی دبی-هد سازه های سرریز و کالورت همدیگر را در نقاطی قطع می کنند که بیانگر این است در واقع در این هد ثابت دبی عبوری از روی سرریز و دبی جریان از داخل کالورت یکسان می باشند که در زیر این نقاط به ازای یک هد مشخص میزان دبی عبوری از داخل کالورت بیشتر از سرریز و در بالای آن دبی

$$Q_w = C_{dw} \left(\frac{2}{3} \times b \times H^3 \times \sqrt{2 \times g} + \frac{8}{15} \times \tan \theta \times H^5 \times \sqrt{2 \times g} \right) \quad (15)$$

که در آن H هد آب بالادست و θ زاویه جانبی سرریز و C_{dw} ضریب دبی است؛ و معادله کلی تئوری برای سازه ترکیبی کالورت-سرریز برابر است با:

$$(Q_t)_{act} = C_d \times \left(\frac{\pi D^2}{4} \times \sqrt{2g \times (Y - y_1)} + \left(\frac{2}{3} \times b \times H^3 \times \sqrt{2 \times g} + \frac{8}{15} \times \tan \theta \times H^5 \times \sqrt{2 \times g} \right) \right) \quad (16)$$

که در آن C_d ضریب دبی سازه ترکیبی است. بر روی ضریب دبی سازه ترکیبی عواملی چون ارتفاع سرریز (P)، عرض کف سرریز (b)، میزان زاویه کناری سرریز ($\tan \theta$)، ارتفاع آب بالادست، طول سازه ترکیبی (L)، قطر کالورت (D)، جرم مخصوص آب (ρ)، لزجت دینامیکی آب (μ)، کشش سطحی (σ) و نیروی گرانش (g) اثر دارند:

$$\varphi(C_d, P, b, \tan \theta, H, L, D, \rho, g, \sigma, \mu, V) = 0 \quad (17)$$

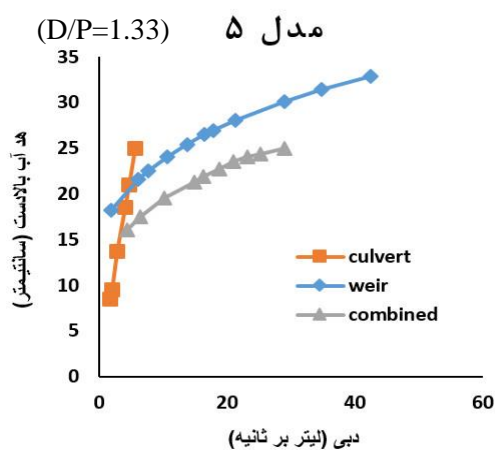
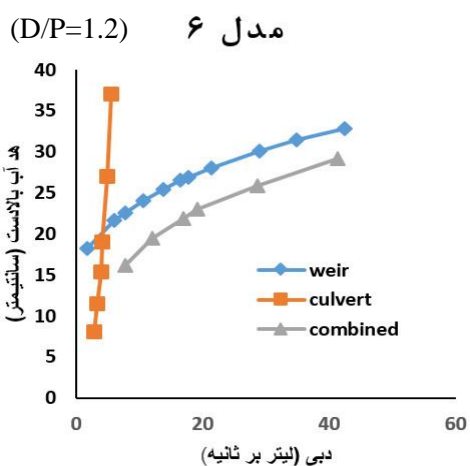
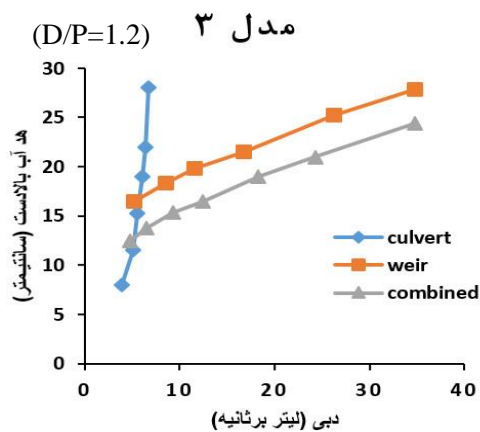
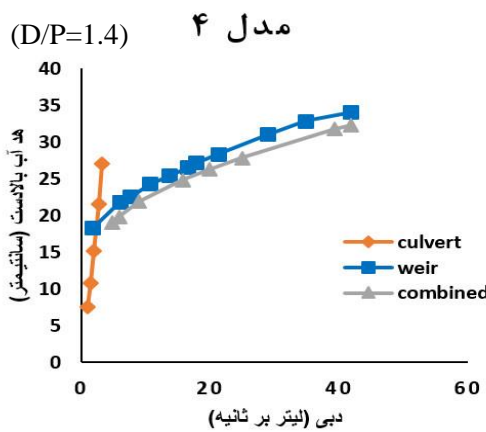
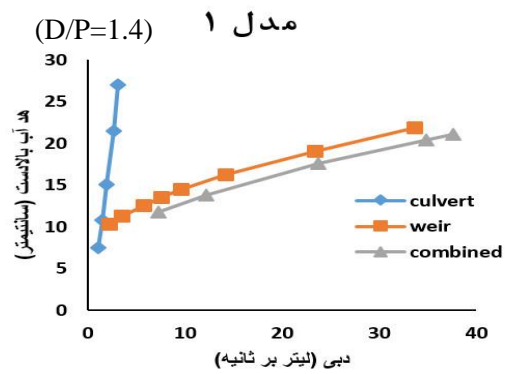
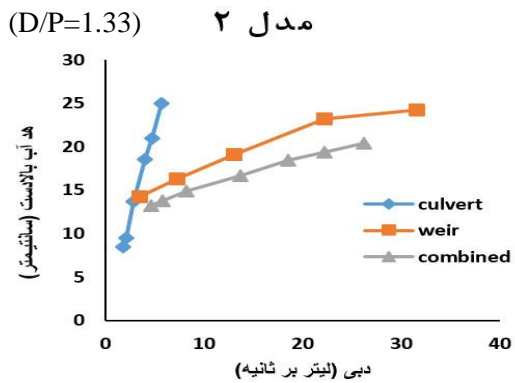
که با استفاده از آنالیز ابعادی و معادله باکینگهام به صورت بی بعد و به شکل زیر بیان می گردند:

$$C_d = \varphi \left(\frac{H}{P}, \frac{H}{L}, \frac{H}{D}, \frac{H}{b}, \tan \theta, W, R, Fr \right) \quad (18)$$

که در رابطه بالا W عدد و بر است که نشان دهنده نسبت نیروی اینرسی به کشش سطحی است و زمانی که تیغه آب از ضخامت کافی برخوردار باشد اثر آن ناچیز است و R عدد بدون بعد رینولدز است که بیانگر نسبت نیروی اینرسی به نیروی لزجت است و برای اعداد رینولدز بزرگتر از ۴۰۰ اثر لزجت ناچیز و برای اعداد بزرگتر از ۱۰۰۰ اثر لزجت به طور کامل از بین می رود [9]، با توجه به اینکه حداقل عدد رینولدز در این تحقیق 1×10^4 است، لذا از اثر لزجت صرف نظر شد. همچنین، در صورتی که عمق جریان از $1/7$ سانتی متر بزرگتر یا عدد و بر بزرگتر از ۱۲ باشد می توان از اثر

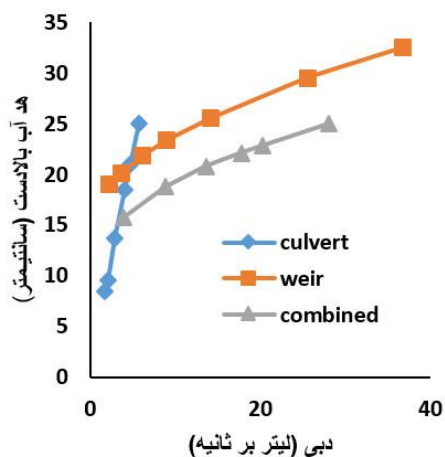
می‌تواند این باشد که در سازه ترکیبی تنگ‌شدگی خطوط جریان و در نتیجه افت انرژی نسبت به عملکرد دو سازه به صورت تکی کمتر اتفاق می‌افتد.

عبوری از روی سرریز بیشتر از کالورت است. همچنین، برای یک هد مشخص دبی سازه ترکیبی بزرگ‌تر از مجموع دبی سازه کالورت و سرریز است. دلیل آن

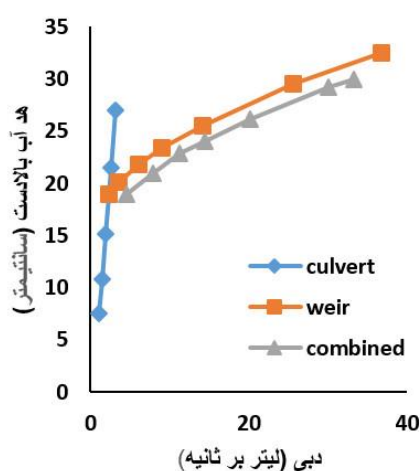


شکل ۳ رابطه دبی-هد برای مدل ۱-۶ (گروه اول و دوم)

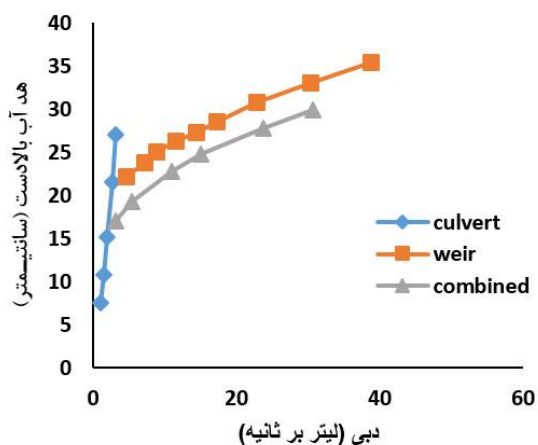
مدل ۸ (D/P=1.33)



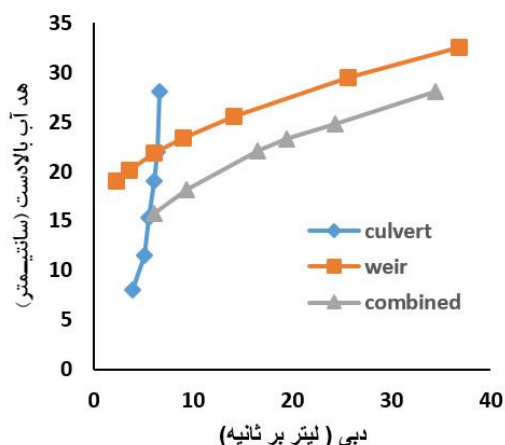
مدل ۷ (D/P=1.4)



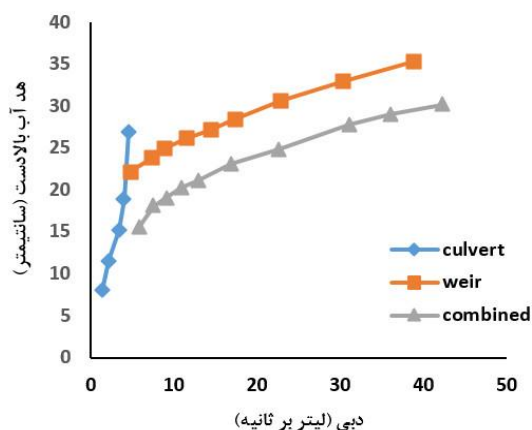
مدل ۱۰ (D/P=1.4)



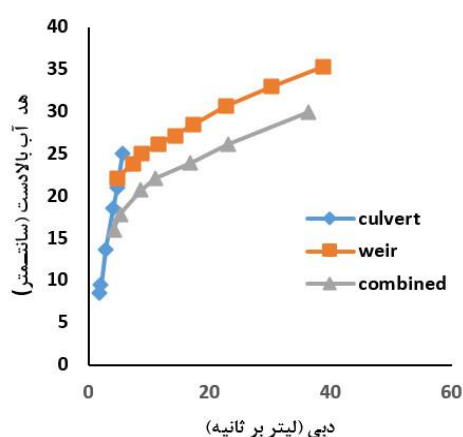
مدل ۹ (D/P=1.2)



مدل ۱۲ (D/P=1.2)



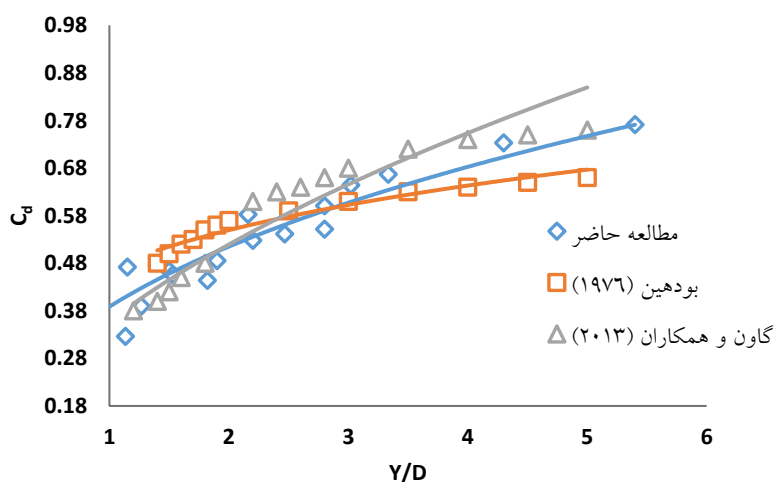
مدل ۱۱ (D/P=1.33)



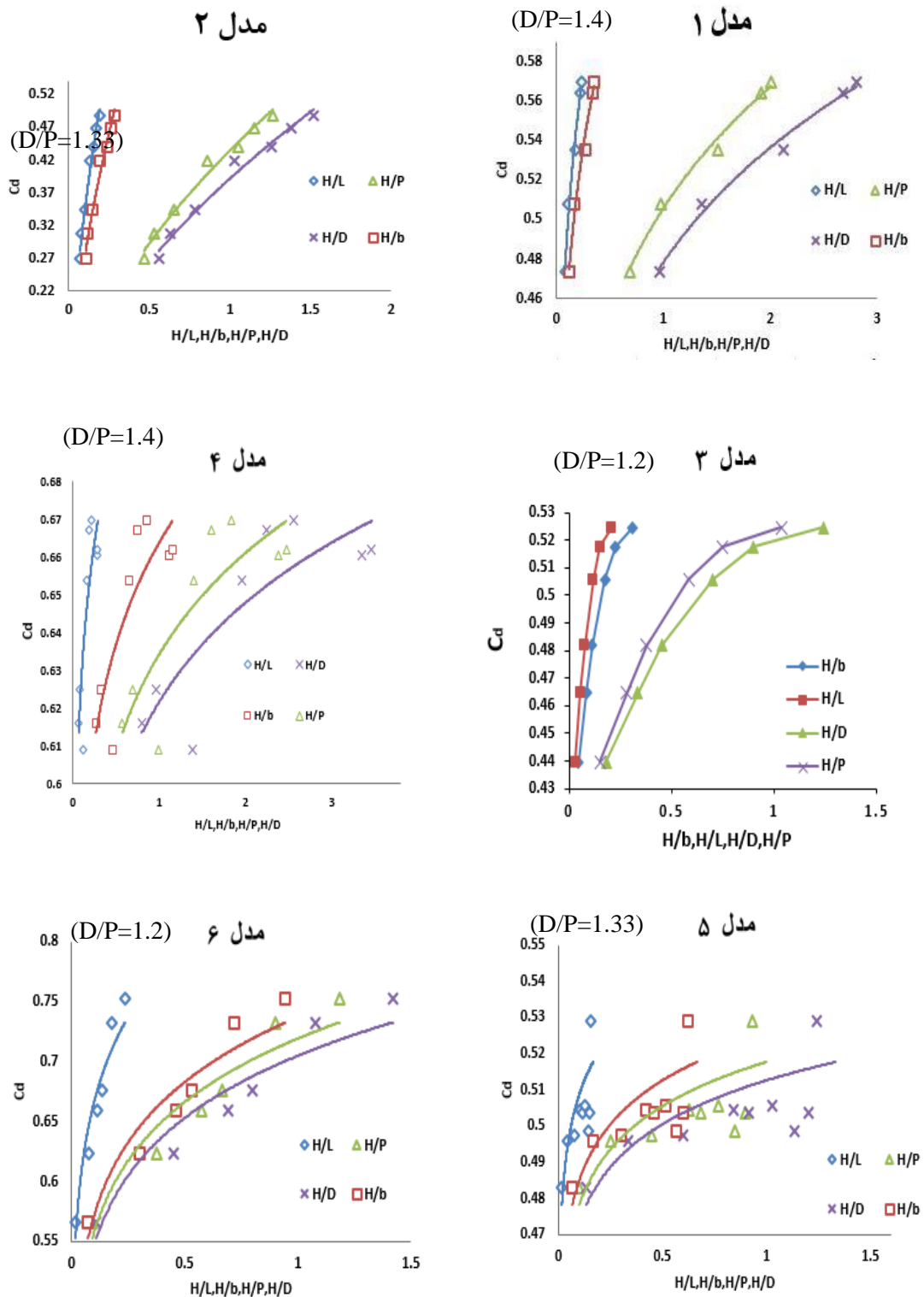
شکل ۴ رابطه دبی-هد برای مدل ۷-۱۲ (گروه سوم و چهارم)

سازه ترکیبی در تمامی مدل‌های ۱ تا ۱۲ ضریب دبی آب عبوری از سازه ترکیبی افزایش می‌یابد. میزان ضریب دبی برای مدل‌های ۱ تا ۳ در گروه اول بین ۰/۲۷ تا ۰/۵۹ است. میزان ضریب دبی برای مدل‌های ۴ تا ۶ در گروه دوم بین ۰/۴۸ تا ۰/۷۵ و میزان ضریب دبی برای مدل‌های ۷ تا ۹ در گروه سوم بین ۰/۴۸ تا ۰/۷۳ و میزان ضریب دبی برای مدل‌های ۹ تا ۱۲ در گروه چهارم بین ۰/۴ تا ۰/۷۴ را نشان می‌دهد. این شکل‌ها نشان می‌دهند که میزان تغییرات ضریب دبی بین ۰/۲۷ تا ۰/۷۵ است که بیشترین مقدار آن برای مدل ۶ و کمترین مقدار آن برای مدل ۲ مشاهده می‌شود. در مقایسه مدل‌های هر یک از گروه‌های اول تا چهارم می‌توان مشاهده کرد که با کاهش ارتفاع سرریز ضریب دبی جریان افزایش می‌یابد. در مقایسه گروه اول با گروه دوم می‌توان به تأثیر عرض جریان بر ضریب دبی اشاره کرد که با کاهش عرض، ضریب دبی زیادتیر شده است. در مقایسه گروه دوم با چهارم اثر زاویه جانبی سرریز نشان‌دهنده کاهش ضریب دبی جریان با افزایش زاویه جانبی سرریز است.

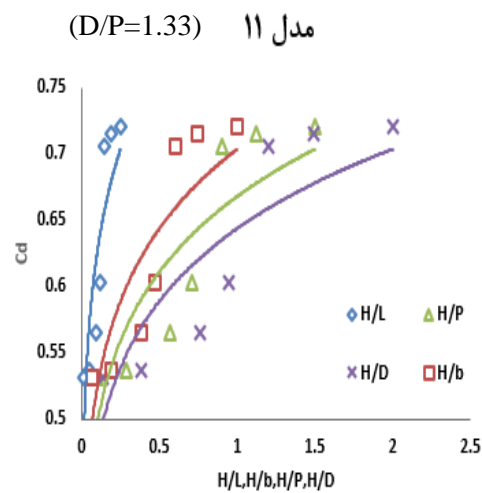
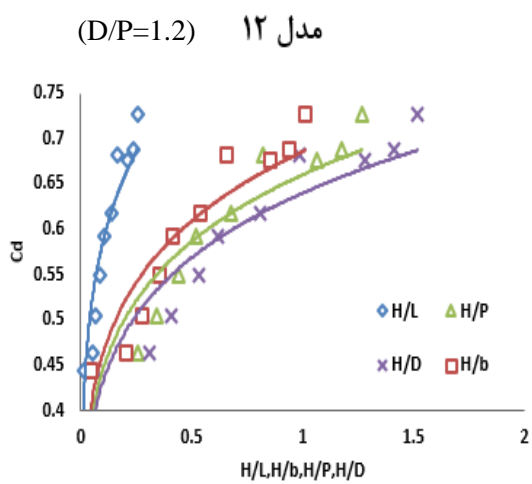
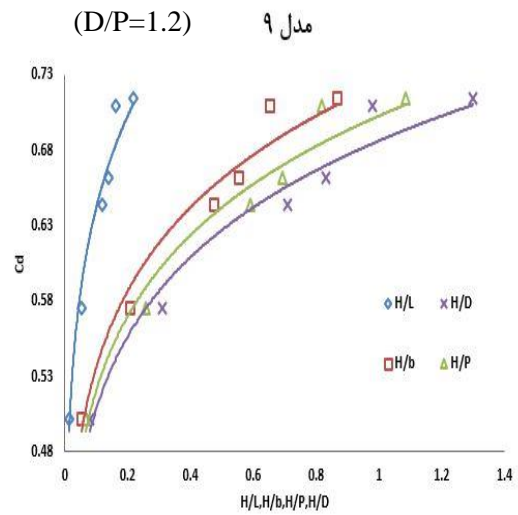
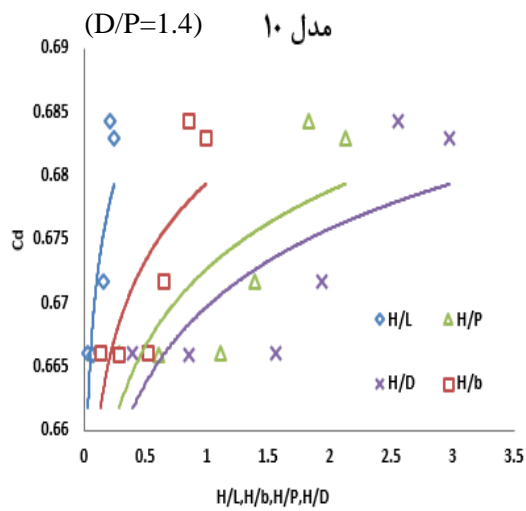
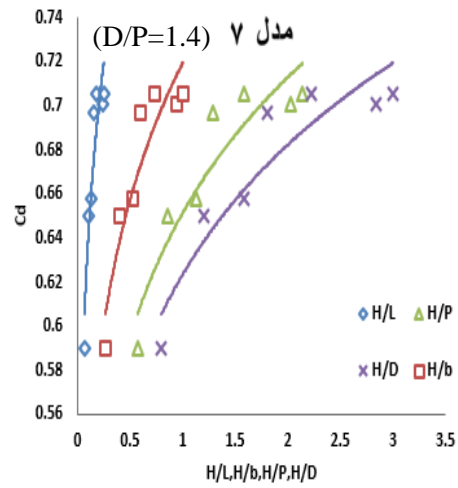
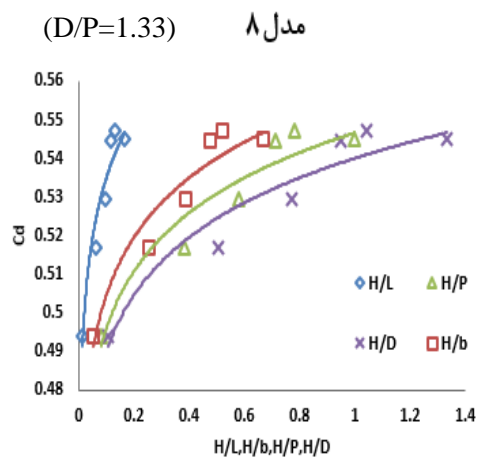
شکل (۵) ضریب دبی عبوری از کالورت در برابر نسبت هد آب بالادست جریان در فلوم به قطر کالورت ($\frac{Y}{D}$) برای مطالعه حاضر، داده‌های بودهین برای کالورت دایره‌ای و گاون و همکاران برای کالورت مربعی در شرایط یکسان در کالورت ($\frac{Y}{D} \geq 1.5, \gamma_4 \leq 1.0$) را نشان می‌دهد، ه در تمامی مدل‌ها با افزایش نسبت ($\frac{Y}{D}$) ضریب دبی عبوری از کالورت افزایش می‌یابد. شایان ذکر است، مطالعه گاون و همکاران بر روی یک مدل ترکیبی کالورت مربعی-سرریز انجام شده است [8,10]. ضریب دبی سازه ترکیبی نسبت به پارامترهای بی‌بعد تأثیرگذار برای مدل‌های مختلف در شکل‌های (۶) و (۷) رسم شده است. نتایج نشان می‌دهد که تمام پارامترهای بدون بعد بر روی ضریب دبی اثر می‌گذارند و با افزایش هرکدام از این پارامترهای بدون بعد ضریب دبی به میزان قابل توجهی افزایش می‌یابد. در بین این پارامترها دو پارامتر H/L و H/b بیشترین اثر را بر روی ضریب دبی دارند، به طوری که با افزایش کم آنها مقدار ضریب دبی به میزان قابل توجهی افزایش می‌یابد. علاوه بر آن، با افزایش نسبت هد آب بالادست به هر یک از پارامترهای عرض و ارتفاع سرریز و قطر کالورت، در



شکل ۵ رابطه ضریب دبی با نسبت هد آب بالادست به قطر کالورت با طول ثابت



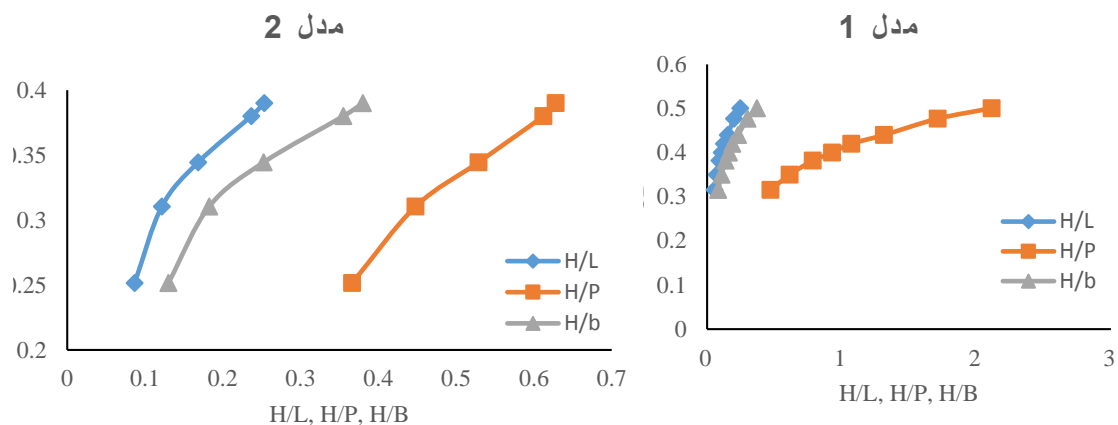
شکل ۶ میزان تغییرات C_d با هریک از H/L ، H/b ، H/P ، H/D برای مدل‌های ۱-۶ (گروه اول و دوم)



شکل ۷ میزان تغییرات C_d با هریک از H/L ، H/b ، H/P ، H/D برای مدل‌های ۶-۱۲ (گروه سوم و چهارم)

روی ضریب دبی داشته و به ازای افزایش ۲۰ درصدی آن مقدار C_d ، ۲/۳۸ درصد افزایش می‌یابد. شکل (۸) تغییرات C_d را در برابر پارامترهای H/B ، H/P و H/L برای سرریز نشان می‌دهد. همان‌طور که در شکل مشخص است با افزایش هر یک از این پارامترهای بدون بعد ضریب دبی سرریز به میزان قابل توجهی افزایش می‌یابد.

همچنین برای هر یک از پارامترهای بی‌بعد در جدول (۲) درصد تغییرات ضریب دبی برای تمامی ۱۲ مدل سازه ترکیبی به ازای مقدار ۲۰ درصد افزایش برای هر یک از متغیرها بررسی شده است. با توجه به این جدول، میانگین افزایش درصد C_d به ازای افزایش ۲۰ درصدی هر یک از پارامترهای H/D ، H/P ، H/b و H/L این نتیجه حاصل می‌شود که H/D بیشترین تأثیر را بر



شکل ۸ میزان تغییرات C_d با هر یک از H/D ، H/P ، H/b و H/L برای سرریز

جدول ۲ آنالیز حساسیت برای هر یک از متغیرهای مستقل

ردیف	مدل	درصد افزایش C_d به ازای افزایش ۲۰ درصدی H/L	درصد افزایش C_d به ازای افزایش ۲۰ درصدی H/P	درصد افزایش C_d به ازای افزایش ۲۰ درصدی H/b	درصد افزایش C_d به ازای افزایش ۲۰ درصدی H/D
۱	SC1	۰/۳۵	۱/۲۶	۲/۹۹	۰/۹۸
۲	SC2	۰/۳۶	۱/۰۶	۲/۴۸	۱/۷۱
۳	SC3	۰/۳۳	۰/۸۳	۱/۷	۰/۸۹
۴	SC4	۰/۲۸	۰/۵۶	۴/۸۹	۲/۴۷
۵	SC5	۰/۳	۰/۵۹	۲/۰۲	۲/۶
۶	SC6	۰/۳	۰/۶	۱/۵۶	۲/۶۶
۷	SC7	۰/۲۸	۰/۵۶	۲/۸۶	۲/۴۷
۸	SC8	۰/۲۹	۰/۵۹	۲/۰۲	۲/۵۹
۹	SC9	۰/۳	۰/۶۱	۱/۵۶	۲/۶۷
۱۰	SC10	۰/۲۸	۰/۵۷	۲/۸۵	۲/۴۶
۱۱	SC11	۰/۲۹	۰/۵۹	۲/۰۲	۲/۶
۱۲	SC12	۰/۳	۰/۶۱	۱/۵۶	۲/۶۶
میانگین		۰/۳۵	۰/۷	۲/۳۸	۲/۲۳

میزان ضریب همبستگی $R^2 = 0.71$ در سطح احتمال ۰/۰۵ معنی دار باشد:

$$C_d = 0.42 - 0.25Fr + 0.018\frac{P}{D} + 0.21\frac{H}{b} + 0.27 \tan \theta + 0.13\frac{H}{L} \quad (26)$$

که برای داده‌های این مقاله جزر میانگین مربعات خطا ۰/۰۵۹۲ و متوسط خطای نسبی ۰/۰۸۸ که این مقادیر برای مطالعه گاوان [۱۶]، به ترتیب، برابر با ۰/۲۶ و متوسط خطای نسبی ۰/۳۵۶ است؛ که همان‌طور که مشخص است، نتایج مطالعه حاضر دقیق‌تر است.

نتیجه‌گیری

در این تحقیق ضریب دبی یک سیستم ترکیبی کالورت-سرریز به صورت آزمایشگاهی بررسی شد. نتایج نشان داد که ضریب دبی برای سازه ترکیبی بین ۰/۲۵ تا ۰/۷۳، برای سرریز بین ۰/۲۵ تا ۰/۶۳ و برای کالورت ۰/۳۳ تا ۰/۷۷ تغییر می‌کرد. پارامتر بدون بعد H/D (هد به قطر) بیشترین تأثیر را بر روی ضریب دبی داشته است. همچنین، با کاهش شیب جانبی سرریز، ضریب دبی عبوری هم در سازه سرریز و هم در سازه سرریز-کالورت افزایش می‌یابد.

در یک هد ثابت میزان دبی عبوری از سازه ترکیبی کالورت-سرریز از مجموع دبی عبوری از روی یک سرریز و داخل یک کالورت بیشتر است، علت آن این است که وقتی هرکدام از سازه‌ها به صورت مجزا عمل می‌کنند تنگ‌شدگی خطوط جریان نسبت به سازه مرکب بیشتر و در نتیجه افت انرژی بیشتر می‌شود، بنابراین دبی سیستم مرکب بزرگ‌تر از مجموع دبی هر یک از دو سازه است. علاوه بر این، معادلات رگرسیونی برای تخمین ضریب دبی ارائه شدند.

ضریب دبی به دست آمده برای کالورت

با استفاده از رگرسیون خطی برای کالورت، با میزان ضریب همبستگی $R^2 = 0.89$ ، معادله زیر برای ضریب دبی کالورت حاصل می‌شود:

$$C_d = 0.27 + 0.11\frac{Y}{D} - 0.049\frac{Y}{L} + 0.51Fr \quad (23)$$

برای این مطالعه جزر میانگین مربعات خطا (RMSE) ۰/۰۳۹۵ و متوسط خطای نسبی ۰/۰۶۱ است. این در حالی است که برای معادلات پیشنهادی گاوان [۱۶]، برای کالورت مستطیلی، ۰/۰۶۱ و ۰/۰۵۵ و متوسط خطای نسبی ۰/۰۹۸ و ۰/۰۹۲ است که نشان‌دهنده دقت بالاتر مطالعه حاضر است. دلیل می‌تواند این باشد که در مطالعه حاضر کالورت دایره‌ای است که واضح است رابطه پیشنهادی در این مقاله جواب بهتر می‌دهد.

ضریب دبی به دست آمده برای سرریز

با استفاده از رگرسیون خطی برای سرریز با میزان ضریب همبستگی $R^2 = 0.88$ باشد:

$$C_d = 0.82 + 0.14Fr + 0.51\frac{H}{P} - 0.71\frac{b}{L} - 0.75 \tan \theta \quad (25)$$

که برای آن مقدار جزر میانگین مربعات خطا ۰/۰۳۶۶ و متوسط خطای نسبی ۰/۰۵۸ که همین مقادیر، به ترتیب، برای مطالعه گاوان [۱۶] ۰/۱۲۴ و ۰/۱۹۲ به دست آمد؛ که علت دقت بیشتر مطالعه حاضر در نظر گرفتن عدد فرود بالادست در رگرسیون هست، در صورتی که در مطالعه ایشان این پارامتر در نظر گرفته نشده است.

ضریب دبی به دست آمده برای سازه ترکیبی

کالورت - سرریز

با استفاده از رگرسیون خطی برای کالورت-سرریز با

مراجع

1. Meselhe, E.A., and Hebert, K. "Laboratory measurements of flow through culverts", *Journal of Hydraulic Engineering*, Vol. 133(8), 973-976, (2007).
2. Chow, V.T., "Open Channel Hydraulics", McGraw-Hill book company, (1959).
۳. بیرامی، م.، *سازه‌های انتقال آب*. انتشارات دانشگاه صنعتی اصفهان. ۱۳۸۹. صفحات ۲۴۸ تا ۳۴۷.
4. Henderson, F.M., "Open Channel Flow", Mac-Millan Pub.co. (1966).
5. Gogus, M., Defne, Z., and Ozkandemir, V., "Broad-crested weirs with rectangular compound cross sections", *Journal of Irrigation and Drainage Engineering*. Vol. 132(3), pp. 272–280, (2006).
6. Azimi, A.H., Rajaratnam, N., and Zhu, D.Z., "Discharge characteristics of weirs of finite crest length", *Journal of Hydraulic Engineering*, Vol. 135 (12), pp. 1081–1085. (2009).
۷. مهری، ی.، عباسی، ن.، و ارونقی، ه.، "پیش‌بینی ضریب دبی در سرریز لبه‌پهنو لبه تیز با بهره‌گیری از سامانه استنتاج فازی و فازی-عصبی تطبیقی". تحقیقات منابع آب ایران، ۱۳(۲): صص. ۱۶۸-۱۷۴، (۱۳۹۶).
8. Aksoy, A.O., and Dogan, M., "Experimental investigation of the approach angle effects on the discharge efficiency for broad crested weirs", *Anadolu University Journal of Science and Technology A- Applied Sciences and Engineering*, Vol. 17(2), pp. 279-286, (2016).
9. Soydan, N.G., Şimşek, O., and Aköz, M.S., "Prediction and validation of turbulent flow around a cylindrical weir", *European Water*, Vol. 57, pp. 85-92, (2017).
10. Idrees, A.K., Al-Ameri, R. Chua, L.H.C., and Das, S., "Determination of discharge coefficient for flow over cycle compound trapezoidal plan from, labyrinth weir", *International Journal of Civil Engineering and Technology*, Vol. 7(4), pp. 314-328, (2016).
۱۱. مسعودیان، م.، فندرسکی، ر.، قره‌گزلو، م.، "مطالعه ضریب بدهی سرریز-دریچه استوانه‌ای و تعیین رابطه‌ای آن با ضریب بدهی دریچه‌ی و سرریز جداگانه". *مجله مهندسی منابع آب*، ۶: صص. ۵۱-۶۲، (۱۳۹۲).
۱۲. سوری، ا.، مسعودیان، م.، کردی، ا.، و راتچر، ک.، "بررسی آزمایشگاهی تغییرات ضریب دبی و افت انرژی در سرریز-دریچه استوانه‌ای با حرکت قائم". *نشریه مهندسی عمران و محیط‌زیست*، ۴۴(۴): صص. ۶۵-۷۸، (۱۳۹۲).
۱۳. سوری، ا.، مسعودیان، م.، راتچر، ک.، و کردی، ا.، "بررسی آزمایشگاهی موقعیت سازه سرریز-دریچه استوانه‌ای در راستای عمود بر جریان بر روی ضریب دبی جریان". *مجله پژوهش آب ایران*، ۹(۲): صص. ۳۳-۴۱، (۱۳۹۴).
۱۴. حیدرپور، م.، رضویان، س.ح.، و حسینی، ی.، "تعیین ضریب دبی در مدل ترکیبی سرریز نیم‌دایره‌ای و دریچه کشویی در کانال دایره‌ای". *مجله پژوهش آب ایران*، ۱۳: صص. ۱۴۹-۱۵۵، (۱۳۹۲).
۱۵. نورالهی، م.، ضیایی، ع.ن.، و بهشتی، ع.ا.، "بررسی آزمایشگاهی مشخصات جریان در دریچه‌های کشویی با لبه استوانه‌ای و نیم استوانه‌ای". *نشریه مهندسی عمران فردوسی*، جلد ۲۹(۲): صص. ۳۱-۴۶، (۱۳۹۶).
16. Guven, A., Hassan, M., and Sabir, S.H., "Experimental investigation on discharge coefficient for a combined broad crested weir-box culvert structure", *Journal of Hydrology*, Vol. 500, pp. 97-103, (2013).
17. Novak, P., Guinot, V. Jeffrey, A. and Reeve, D.E., "Hydraulic Modelling – an Introduction, Principles,

methods and applications”, Taylor & Francis, (2010).

18. Bodhaine, G.L., “Measurement of peak discharges at culverts by indirect methods”, Government Printing Office, US Geological Survey, Washington (DC), (1976).